

準結晶構造の数理：物質科学の視点から

豊田理化学研究所 石政 勉

参考文献、参考書

- M. Baake, "A Guide to Mathematical Quasicrystals", arXiv:math-ph/9901014v1 20 Jan 1999.
- W. Steurer and S. Deloudi, "Crystallography of Quasicrystals", Springer series in materials science 126, Springer, 2009, ISBN 978-3-642-01899-2.
- A. Yamamoto, Acta Crystallogr., **A52** (1996) 509.
- "The Physics of Quasicrystals", edited by P.J. Steinhardt and S. Ostlund, World Scientific, 1987 ISBN 9971-50-226-7.
- 平賀賢二、「準結晶の不思議な構造」アグネ技術センター
- 竹内 伸、枝川圭一、蔡 安邦、木村 薫、「準結晶の物理」朝倉書店

Outline

1. 準備：電子顕微鏡像と電子回折図形
2. 準結晶とは「結晶では許されない回折対称性」を示すもの
3. 準周期性：正12角形準結晶の数理
 - 3.1 Inflationによる準格子の作り方
 - 3.2 高次元周期構造との関連
 - 3.3 Dodecagonal準格子を作る。回転対称性の導入
4. 合金系正12角形準結晶の構造
5. 正20面体準結晶
 - 5.1 その特徴
 - 5.2 正20面体準結晶の数理

数学の観点では、フーリエ変換と線形代数の応用例

おもしろく、また難しいところは、「合金を作って準結晶を探す実験」から高次元解析までを行なう必要があるところ。

1. 準備: 電子顕微鏡像と電子回折図形

薄膜の仮定

物体の投影電位
 $\phi(x, y)$

後焦点面での電子波
 S は物体の底面、 (u, v) は逆空間の座標

$$\Phi(u, v) \propto \mathcal{F}[\phi(x, y)] = \iint_S \phi(x, y) \exp\{-2\pi i(ux + vy)\} dx dy$$

この講演における
フーリエ変換の定
義式

Sample α Back focal plane u Image

Waves denoted by \gg gather here.

Waves \ggg gather here.

回折: 特定方向 (波数ベクトル k) への強い散乱

corresponding 2θ in the case of Bragg reflection.

実験では回折強度の分布が観察される。

$$|\Phi(u, v)|^2 = |\Phi(-u, -v)|^2$$

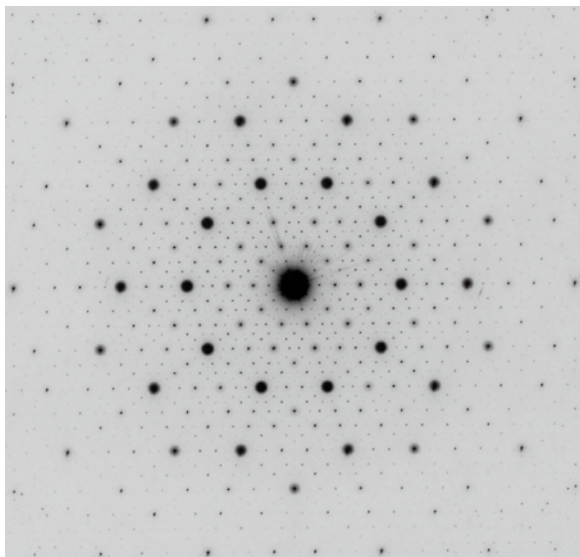
J.M. Cowley, "Diffraction physics" 2nd edition, North-Holland, 1981.

試料を回転することによって3次元の回折対称性を調べることができる。

2. 準結晶とは「結晶では許されない回折対称性」を示すもの

正20面体準結晶

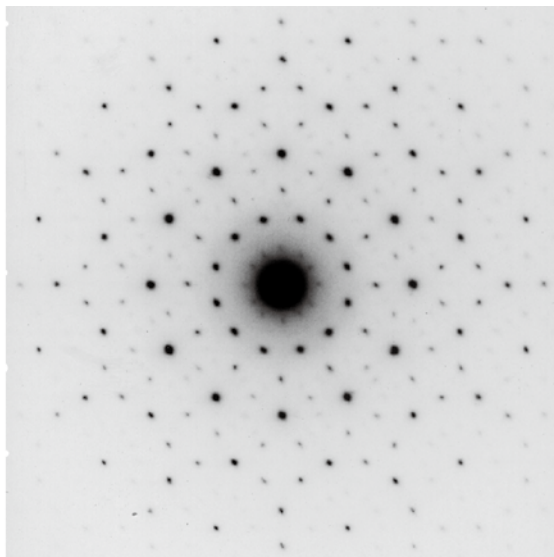
5回軸入射の電子回折図形



黄金比 $\tau = (1 + \sqrt{5})/2$ で特徴付けられる
等比数列的な長距離秩序 $Zn_{80}Mg_5Sc_{15}$

正12角形準結晶

12回軸入射の電子回折図形



固有の無理数: $2 + \sqrt{3}$

$Mn_{74}Cr_{10}Ni_1Si_{15}$

後に見るように、理想的な準結晶の回折点は δ 関数である。

準結晶の多様性

結晶学的な観点

準格子: 準周期的な並進対称性
回折対称性

局所的な構造(準格子を修飾するもの):
原子クラスター、コラム

構成元素の観点

金属・合金、セラミックス、高分子、コロイド系....

準結晶
Quasicrystals



近似結晶

(準結晶探索の出発物質、
物性の参照物質)



2次元準結晶(1軸方向に周期的)

正8角形, 正10角形, 正12角形準結晶

Octagonal, Decagonal and Dodecagonal quasicrystals

3次元準結晶

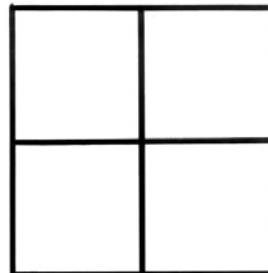
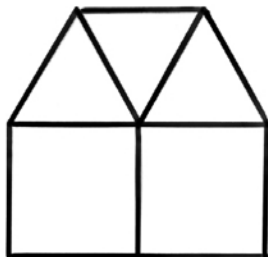
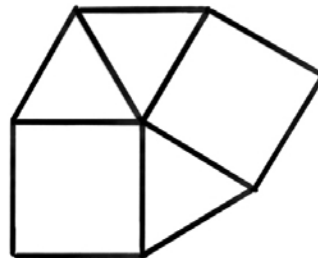
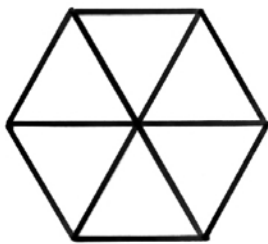
正20面体準結晶

Icosahedral quasicrystal

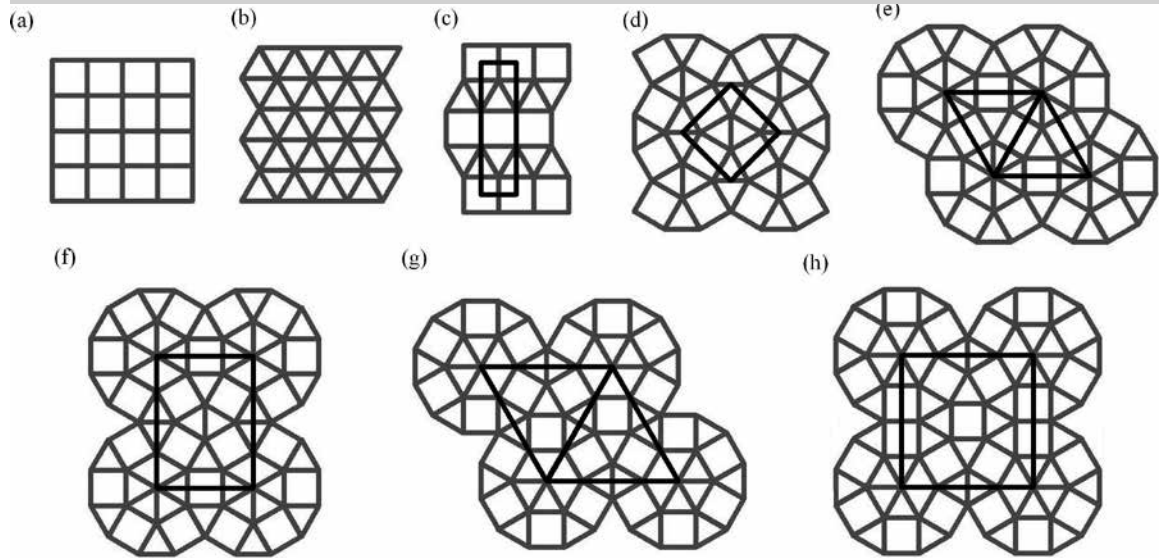
ここからの議論では、まず準格子を取り扱い、次にそれを原子で修飾して、準結晶の構造を理解する。

3. 準周期性: 正12角形準結晶の数理

正方形と正三角形のタイルを使って平面を埋める問題



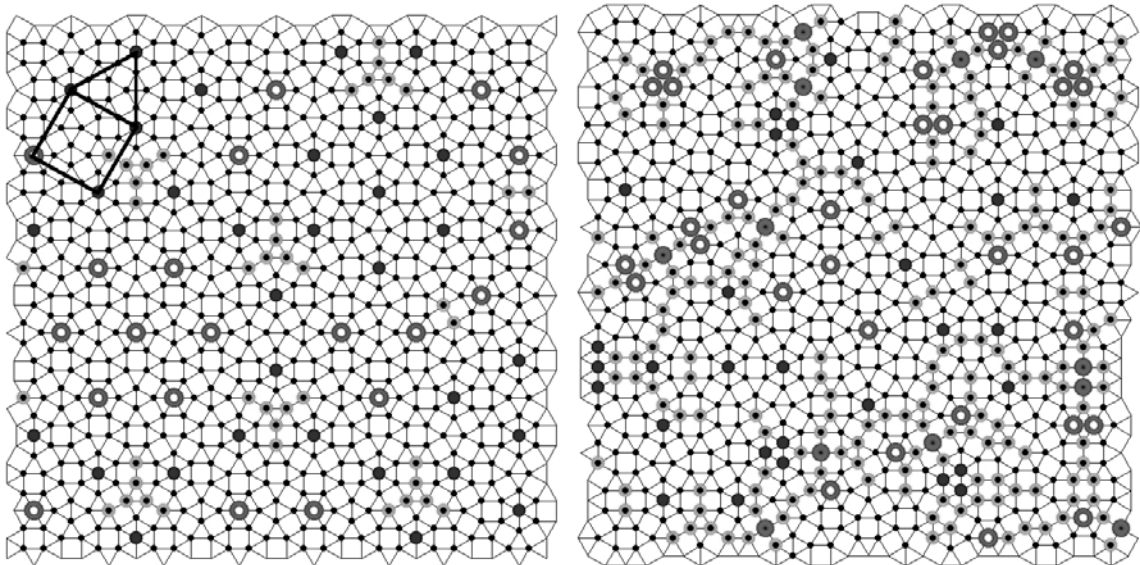
正方形と正3角形の周期的タイリング、すなわち近似結晶



・隙間を空けてはダメという条件
 ・2種類のタイルを使うことから生じる自由度
 正3角形と正方形のタイル貼りは単純ではない。

疑問: 周期性を持たないタイル貼りもあるのか? 例えば「でたらめ」に?
 あるいは、周期的でなく規則的に?

正12角形準結晶の準格子: 準周期モデルとランダムタイリングモデル



$2+\sqrt{3}$ による等比数列表的秩序: 正12角形の中心を直線で結ぶと、第2世代の3角4角タイリングが現れる。3角4角の個数は $4:\sqrt{3}$

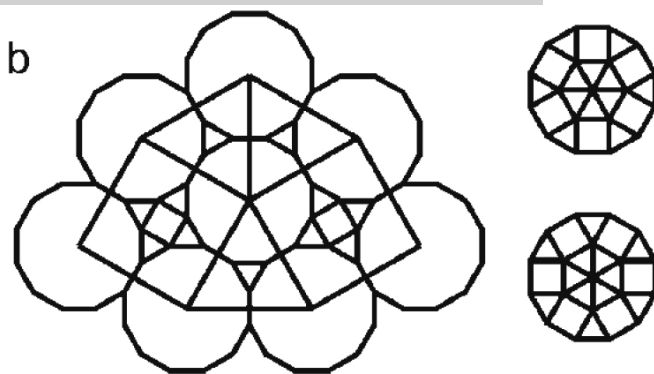
M.Baake et al., Physica A, **191** (1992) 554.

配置のエントロピーで安定化?
 エントロピーは3角4角の個数が $4:\sqrt{3}$ で最大

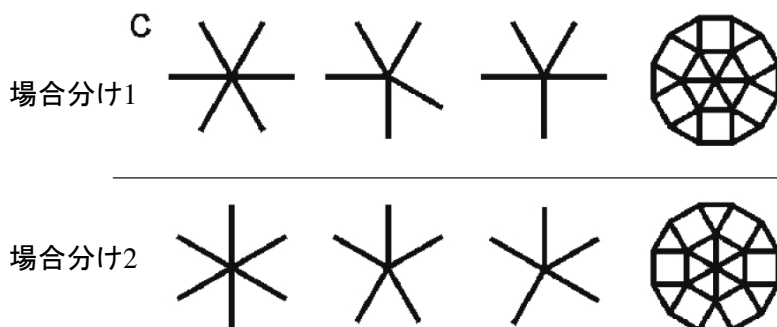
H. Kawamura, Prog. Theor. Phys. **70** (1983) 352.

両者で3角4角の比が一致する理由は大きな謎

3.1. Inflationによる準格子の作り方



2+√3倍に拡大し、頂点に正12角形を配置



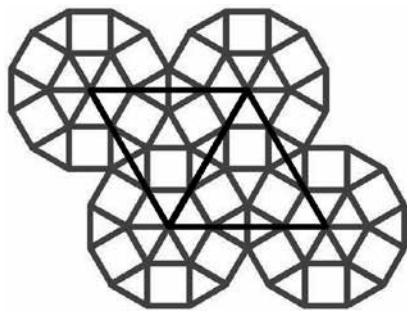
Stampfliモデルでは2種類の正12角形の選択をランダムに行なう。

P. Stampfli, Helv. Phys. Acta, **59** (1986) 1260.

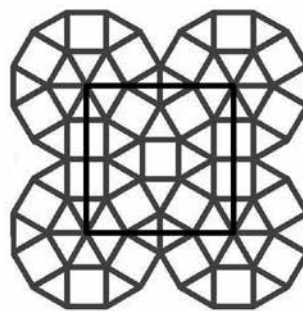
Schlottmannらのモデルでは、正12角形の選択を前世代の頂点の種類で場合分けする

M. Baake, R. Klitzling and M. Schlottmann, Physica A **191** (1992) 554.
X. Zeng and G. Unger, Phil. Mag. **86** (2006) 1093.

準周期性(等比数列的な長距離秩序)



第2世代の正3角形には
小さな正方形3個、正3角形7個



第2世代の正方形には
小さな正方形7個、正3角形16個

第 n 世代における正方形の数 S_n と正三角形の数 T_n についての漸化式

$$\begin{pmatrix} S_{n+1} \\ T_{n+1} \end{pmatrix} = A \begin{pmatrix} S_n \\ T_n \end{pmatrix} \quad A = \begin{pmatrix} 7 & 3 \\ 16 & 7 \end{pmatrix}$$

$$n \rightarrow \infty, \quad \begin{pmatrix} 7 & 3 \\ 16 & 7 \end{pmatrix} \begin{pmatrix} S \\ T \end{pmatrix} = \lambda \begin{pmatrix} S \\ T \end{pmatrix} \quad \text{公比}\lambda\text{は行列}A\text{の固有値の一つ:}$$

$$\lambda = 7 + 4\sqrt{3} = (2 + \sqrt{3})^2$$

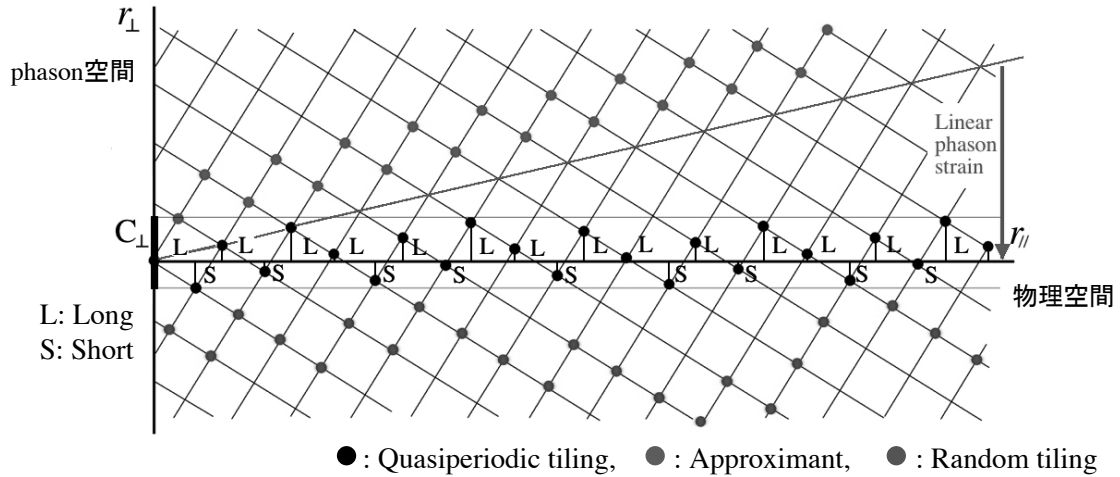
上のモデルでは、辺の長さの比も $2+\sqrt{3}$ 倍 (長さの条件は使わなかったのに、 $2+\sqrt{3}$ がでてきた！)

3.2. 高次元周期構造との関連

A. Katz and M. Duneau, J. Physique, **47** (1986) 181.
 V. Elser, Acta Crystallogr., **A42** (1986) 36.A.
 Yamamoto, Acta Crystallogr., **A52** (1996) 509.

簡単のため、2次元正方格子から1次元準格子を作る場合を考える。
 傾きが無理数の別の直交座標 $(r_{//}, r_{\perp})$ を設定する。(後のため、 $r_{//}, r_{\perp}$ をベクトルとして表記)

- ・窓 C_{\perp} による格子点の選択、次に選択された格子点の物理空間への射影
 $\{r_{//} \mid r_{\perp} \in C_{\perp}\}$
 窓 C_{\perp} をうまく設定すると、2種類の長さ L と S で物理空間が埋められる。
- ・物理空間成分に比例する phason 歪 D を導入すると、周期配列を作れる。
 $\{r_{//} \mid r_{\perp} + \Delta r_{\perp} \in C_{\perp}\}, \Delta r_{\perp} = D r_{//}$



「2次元正方格子→1次元準格子」のまとめ

格子定数 a の2次元正方格子は δ 関数の周期配列として表される。その関数 L は格子点でだけ値を持ち、それ以外では0である。また、位置ベクトル r の物理空間と phason 空間成分を、それぞれ $r_{//}$ と r_{\perp} とする。

$$L(r_{//}, r_{\perp}) = \sum_{n,m=-\infty}^{\infty} \delta(r - r_{nm}), \quad r = r_{//} + r_{\perp}, \quad r_{nm} = a(ne_1 + me_2)$$

ただし、 e_1 と e_2 は正規直交基底、 n, m は整数である。関数 L は周期格子を表すので、そのフーリエ変換は逆格子となる。すなわち、 h, k が整数である逆格子点だけで値をもつ。なお、 u は逆空間の位置ベクトルである。

$$\mathcal{F}[L(r)] = \frac{1}{a^2} \sum_{h,k=-\infty}^{\infty} \delta(u - u_{hk}), \quad u_{hk} = \frac{1}{a}(he_1 + ke_2)$$

準格子を表す関数 ϕ は、窓を表す関数 W を関数 L にかけて格子点の選択を行ない、次に物理空間に射影して得られる。

$$W(r_{//}, r_{\perp}) = \begin{cases} 1 & r_{\perp} \in C_{\perp} \text{ の場合} \\ 0 & \text{それ以外} \end{cases}$$

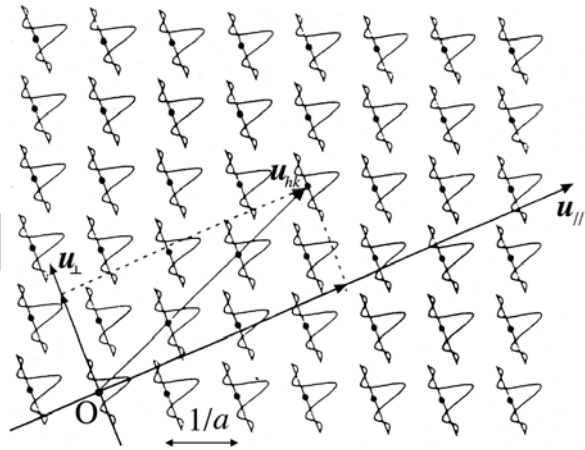
$$\phi(r_{//}) = \int_{-\infty}^{\infty} L(r_{//}, r_{\perp}) W(r_{//}, r_{\perp}) dr_{\perp}$$

準格子のフーリエ変換、 回折強度

$\phi(r_{//})$ のフーリエ変換 $\Phi(u_{//})$ の計算

$$\begin{aligned} \Phi(u_{//}) &= \mathcal{F}[\phi(r_{//})] \\ &= \int_{-\infty}^{\infty} \left(\int_{-\infty}^{\infty} L(r_{//}, r_{\perp}) W(r_{//}, r_{\perp}) dr_{\perp} \right) \exp(-2\pi i r_{//} \cdot u_{//}) dr_{//} \\ &= \left\{ \mathcal{F}[L(r_{//}, r_{\perp}) W(r_{//}, r_{\perp})] \right\}_{u_{\perp}=0} \\ &= \left\{ \mathcal{F}[L(r_{//}, r_{\perp})] * \mathcal{F}[W(r_{//}, r_{\perp})] \right\}_{u_{\perp}=0} \\ &= \left\{ \frac{1}{a^2} \sum_{h,k=-\infty}^{\infty} \delta(u - u_{hk}) * \mathcal{F}[W(r_{//}, r_{\perp})] \right\}_{u_{\perp}=0} \end{aligned}$$

「射影のフーリエ変換」
=「2次元フーリエ変換の断面」



M. de Boissieu, Lectures on Quasicrystals (1994)に加筆

従って、準格子はデルタ関数の回折点を生じる。

*は畳込み積分、 a は正方格子の一辺の長さ

この考え方を「高次元周期格子 → 2次元、3次元準格子」に拡張して適用する。
(高次元格子と窓 W が回転対称性を満たして、そこから回折対称性が生じる。)

A. Katz and M. Duneau, J. Physique, **47** (1986) 181. V. Elser, Acta Crystallogr., **A42** (1986) 36.

さらに、高次元周期結晶の単位胞内に窓を設定して、原子配置を取り扱う。
準結晶の構造解析とは、回折強度 $|\Phi(u_{//})|^2$ から高次元結晶の構造を決める事。

A. Yamamoto, Acta Crystallogr., **A52** (1996) 509.

3.3 Dodecagonal準格子を作る。回転対称性の導入

4次元空間では、12回対称の格子、dodecagonal格子がただ1つ存在する事が知られている。そのdodecagonal格子は、以下の2つのgenerator から構成される。

H. Brown et al., "Crystallographic Groups of Four-Dimensional Space", John Wiley & Sons, Inc, 1978, ISBN 0-471-03095-3

$$R_{12} = \begin{pmatrix} 0 & 0 & 0 & -1 \\ 1 & 0 & 0 & 0 \\ 0 & 1 & 0 & 1 \\ 0 & 0 & 1 & 0 \end{pmatrix} \quad R_2 = \begin{pmatrix} 0 & 0 & 0 & 1 \\ 0 & 0 & 1 & 0 \\ 0 & 1 & 0 & 0 \\ 1 & 0 & 0 & 0 \end{pmatrix}$$

$R_{12}^{12} = E$: R_{12} は12回の回転操作ではあるが、正規直交基底の回転行列ではない。

以下では、 R_{12} に相似で正規直交基底に基づく以下の行列を考える。

$$A = \begin{pmatrix} \cos \frac{\pi}{6} & -\sin \frac{\pi}{6} & 0 & 0 \\ \sin \frac{\pi}{6} & \cos \frac{\pi}{6} & 0 & 0 \\ 0 & 0 & \cos \frac{-5\pi}{6} & -\sin \frac{-5\pi}{6} \\ 0 & 0 & \sin \frac{-5\pi}{6} & \cos \frac{-5\pi}{6} \end{pmatrix} = \frac{1}{2} \begin{pmatrix} \sqrt{3} & -1 & 0 & 0 \\ 1 & \sqrt{3} & 0 & 0 \\ 0 & 0 & -\sqrt{3} & 1 \\ 0 & 0 & -1 & -\sqrt{3} \end{pmatrix}$$

物理空間での回転

重要: 2つの2次元空間において12回対称性が保存されている。

phason空間での回転

P.W.Leung, C.L.Henley, G.V.Chester, Phys. Rev. B, **39** (1989) 446.

W. Steurer and S. Deloudi, "Crystallography of Quasicrystals", Springer, 2009.

R_{12} とAを関係づける行列 B

行列 R_{12} とAは相似 $A = BR_{12}B^{-1}$

ここで、行列 B は $B = \frac{1}{2} \begin{pmatrix} 2 & \sqrt{3} & 1 & 0 \\ 0 & 1 & \sqrt{3} & 2 \\ -2 & \sqrt{3} & -1 & 0 \\ 0 & 1 & -\sqrt{3} & 2 \end{pmatrix}$, $B^{-1} = \frac{1}{2\sqrt{3}} \begin{pmatrix} \sqrt{3} & -1 & -\sqrt{3} & 1 \\ 2 & 0 & 2 & 0 \\ 0 & 2 & 0 & -2 \\ -1 & \sqrt{3} & -1 & \sqrt{3} \end{pmatrix}$

B はdodecagonal系での座標を正規直交系に変換する行列なので、

$$\begin{pmatrix} 1 \\ 0 \\ 0 \\ 0 \end{pmatrix} \rightarrow \begin{pmatrix} 1 \\ 0 \\ -1 \\ 0 \end{pmatrix}, \quad \begin{pmatrix} 0 \\ 1 \\ 0 \\ 0 \end{pmatrix} \rightarrow \begin{pmatrix} \sqrt{3}/2 \\ 1/2 \\ \sqrt{3}/2 \\ 1/2 \end{pmatrix}, \quad \begin{pmatrix} 0 \\ 0 \\ 1 \\ 0 \end{pmatrix} \rightarrow \begin{pmatrix} 1/2 \\ \sqrt{3}/2 \\ -1/2 \\ -\sqrt{3}/2 \end{pmatrix}, \quad \begin{pmatrix} 0 \\ 0 \\ 0 \\ 1 \end{pmatrix} \rightarrow \begin{pmatrix} 0 \\ 1 \\ 0 \\ 1 \end{pmatrix}$$

Dodecagonalの基底ベクトルは、このように変換される。

R_2 の相似変換 $R_2 = \begin{pmatrix} 0 & 0 & 0 & 1 \\ 0 & 0 & 1 & 0 \\ 0 & 1 & 0 & 0 \\ 1 & 0 & 0 & 0 \end{pmatrix}$, $C = BR_2B^{-1} = \begin{pmatrix} 0 & 1 & 0 & 0 \\ 1 & 0 & 0 & 0 \\ 0 & 0 & 0 & -1 \\ 0 & 0 & -1 & 0 \end{pmatrix}$

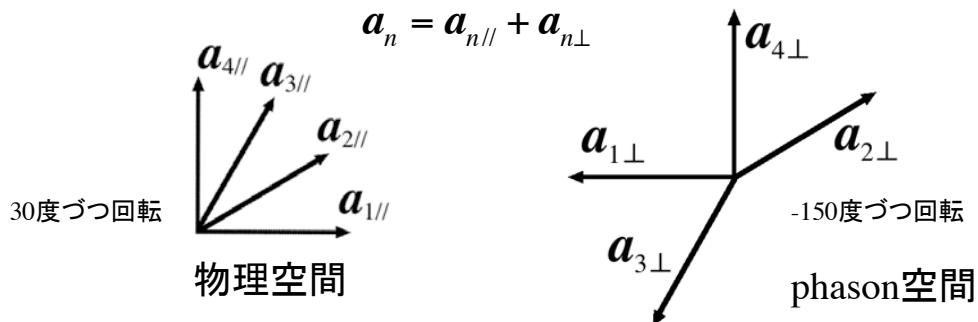
物理空間とphason空間、それぞれにおける鏡映を意味する。4次元Dodecagonal格子の点群は D_{12} であり、それが両2次元空間において保たれていることが分かる。

Dodecagonal格子の格子ベクトル a_n

前ページの変換をもとに格子定数 a_{DD} のdodecagonal格子を定義する。

$$\mathbf{a}_1 = \frac{a_{DD}}{\sqrt{2}} \begin{pmatrix} 1 \\ 0 \\ -1 \\ 0 \end{pmatrix}, \quad \mathbf{a}_n = A^{n-1} \mathbf{a}_1, \quad n = 1 \sim 12$$

このうち、 n が5以上のベクトルは $n=1\sim 4$ の線形結合で表される。ベクトルの成分の内、上の2つが物理空間成分を、下の2つがphason空間成分を与える。



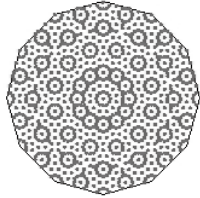
Phason空間に窓 C_{\perp} を設定し格子点の選択を行ない、次にその物理空間成分を求めると準格子を作図できる。(射影法)ただし、窓 C_{\perp} は点群 D_{12} を満たす必要がある。(窓 C_{\perp} のフーリエ変換が回折強度を決めることに注意)

正12角形の窓 C_{\perp} を使った場合

物理空間

$$\{r_{//} \mid r_{\perp} \in C_{\perp}\}$$

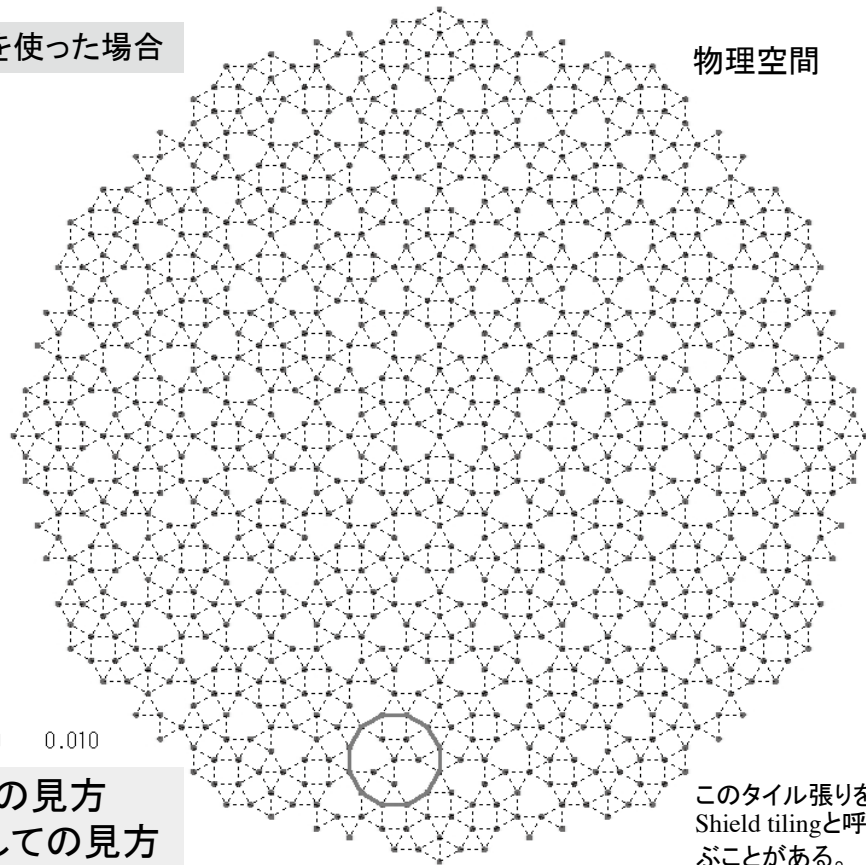
F. Gähler, PhD thesis
Diss. ETH No. 8414,
ETH Zürich, 1988.



Phason空間

StageMax = 20
Xshift, Yshift = 0.000 0.010

- (1) tilingとしての見方
- (2) coveringとしての見方



このタイル張りを
Shield tiling と呼
ぶことがある。

正3角形・正方形タイリングを得るにはフラクタルの窓を使う事が必要
と知られている。

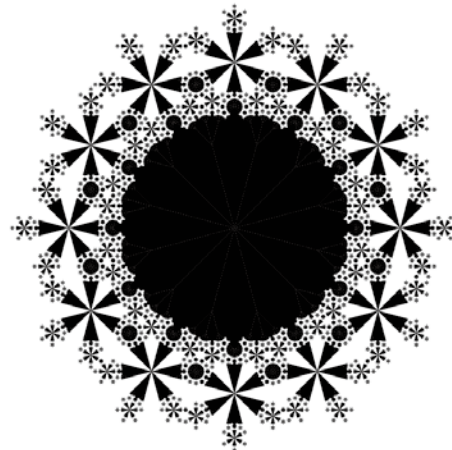
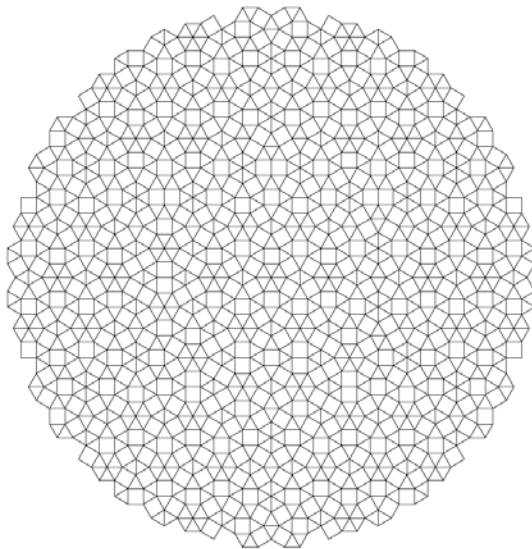


Fig. 5.2. Window for the square-triangle tiling of Figure 5.1.

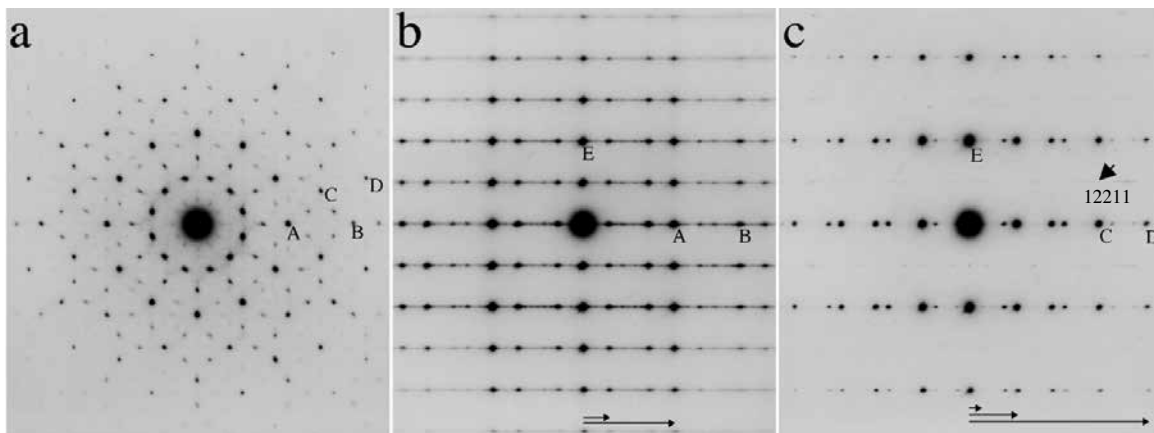
Fig. 5.1. Finite patch of a quasiperiodic square-triangle tiling.

M. Baake, "A Guide to Mathematical Quasicrystals", arXiv:math-ph/9901014v1 20 Jan 1999.

準周期構造とランダムタイリングの違いは、定まった窓 C_{\perp} の有無。
この基準で、両者を識別できる。

4. 合金系正12角形準結晶の構造

Mn-Cr-Ni-Si合金中に形成した正12角形準結晶の電子回折図形



12回軸方向に周期性を持つ。
以下では、12回軸方向への投影構造を準
格子の観点で解析する。

A: 1 2 1 0 0, B: 2 3 2 0 0,
C: 1 2 2 1 0, D: 1 3 3 1 0,
E: 0 0 0 0 2

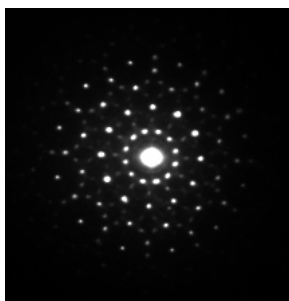
5番目の指数は、周期軸方向を表す。

S. Iwami and T. Ishimasa, *Phil. Mag. Lett.*, 95 (2015) 229.

現実の準結晶は、
準周期？
ランダムタイリング？

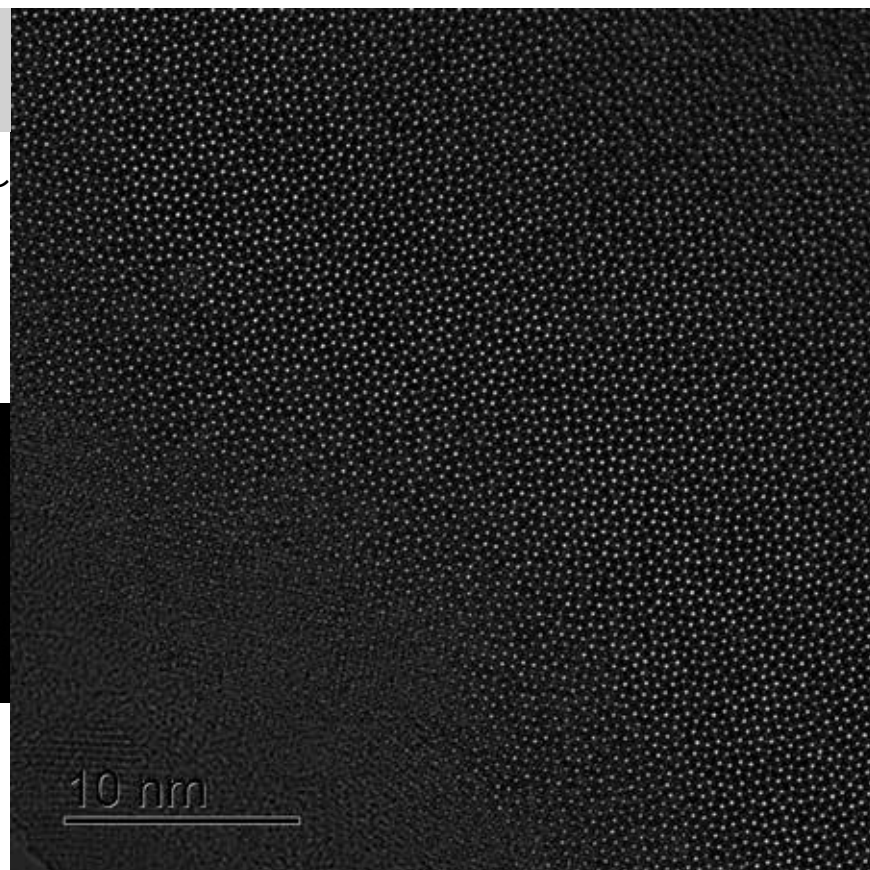
12回対称軸から観察し
たMn-Cr-Ni-Si合金の
電子顕微鏡像

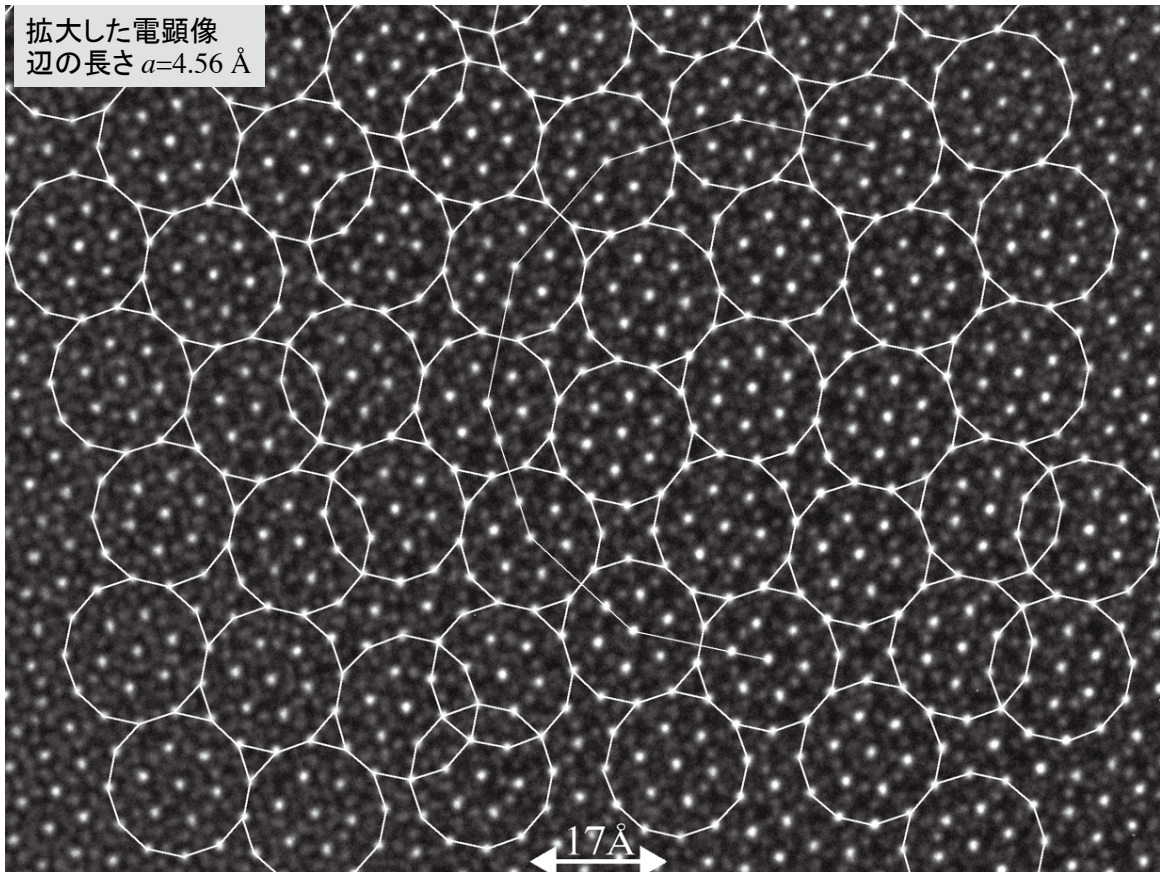
白点の間隔: 4.56 Å



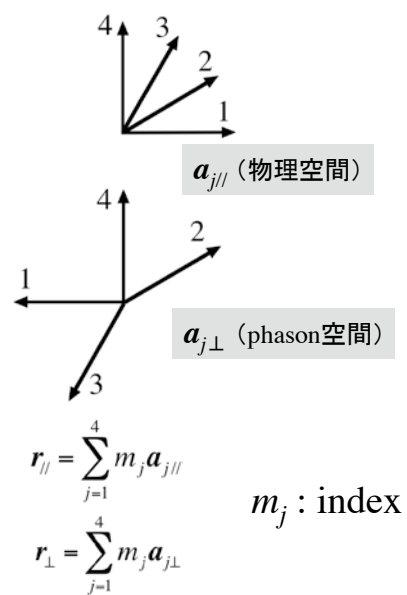
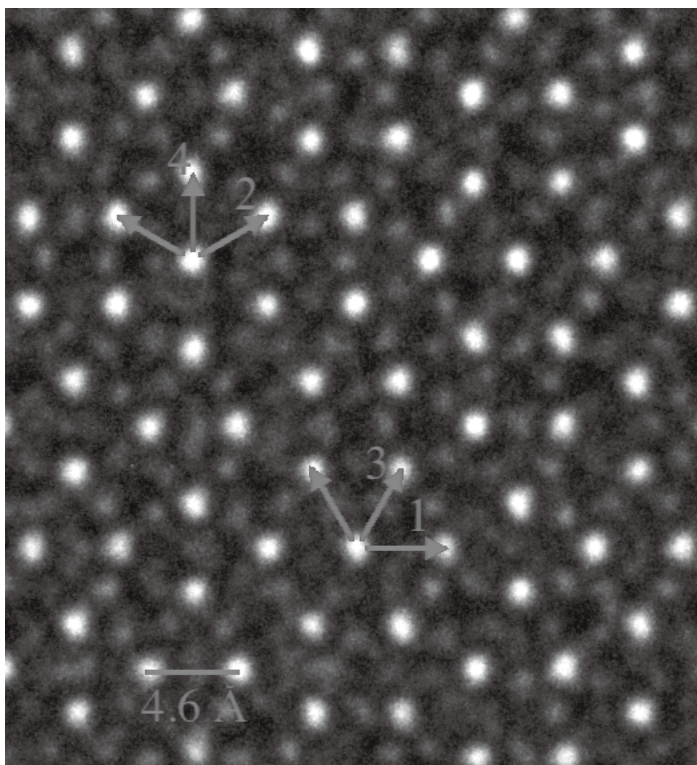
電子回折図形

T. Ishimasa et al., *Phil. Mag.*, 95 (2015) 3745.



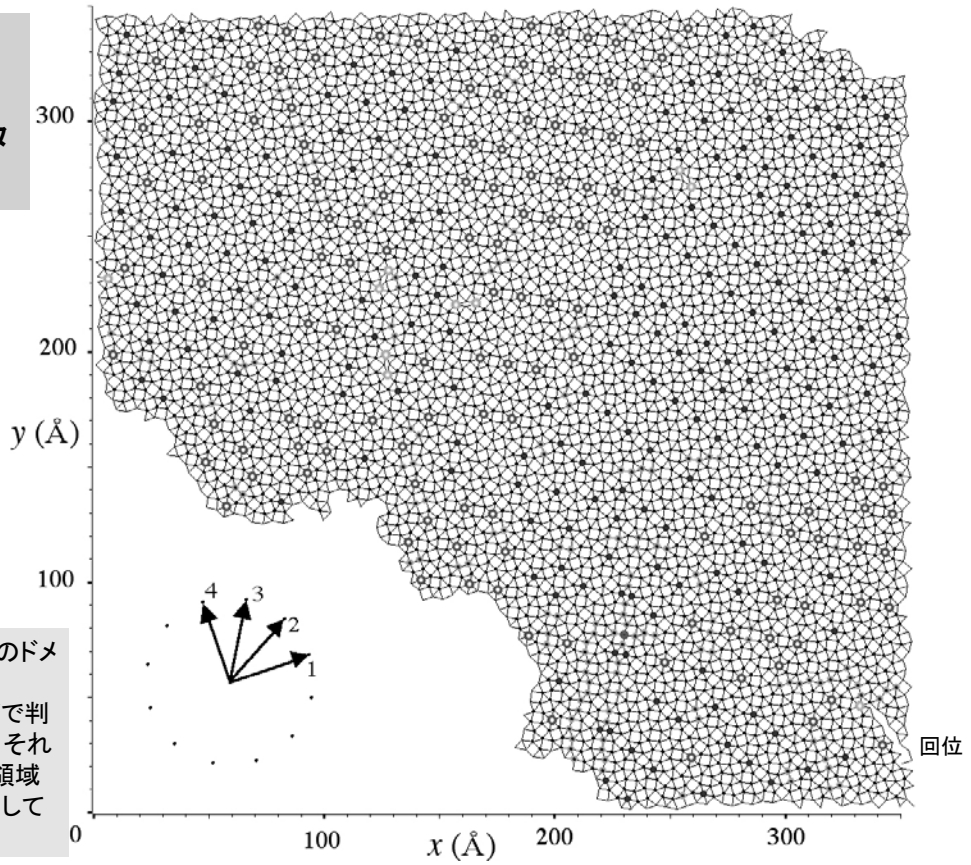


電子顕微鏡像に見られるタイル張りの指数付け



像に観察される全ての明点の位置は、4つの $\mathbf{a}_{j||}$ ベクトルの整数係数線形結合として記述される。

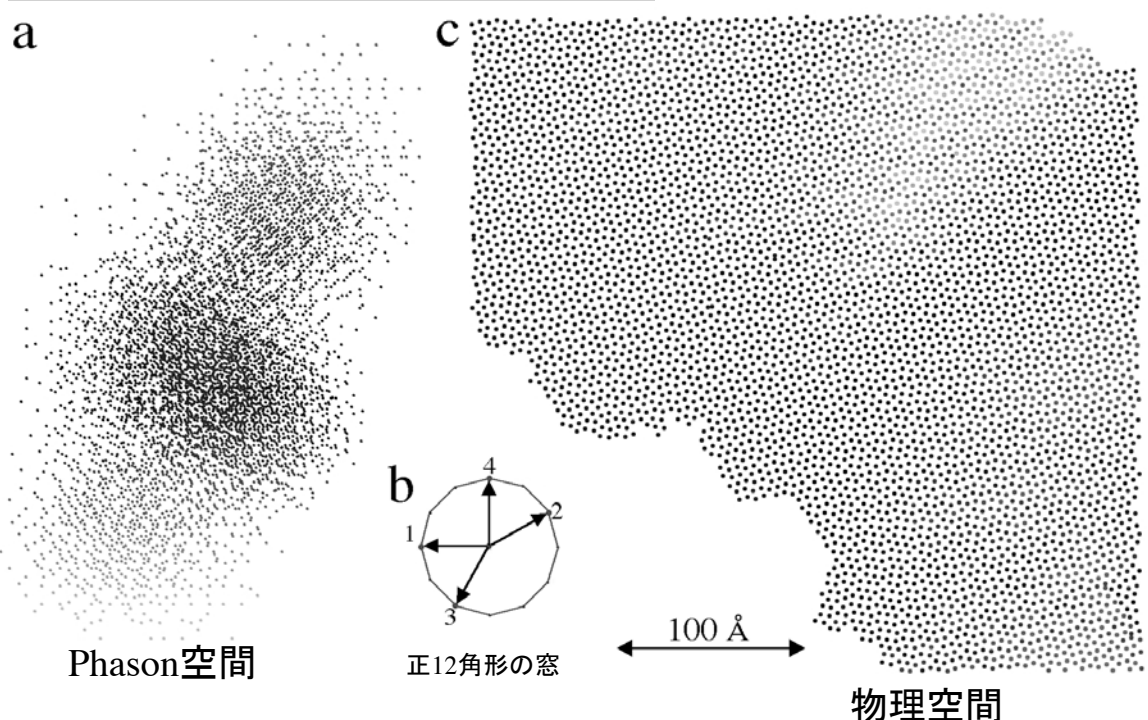
電子顕微鏡像から抽出したタイリング



一見、赤や青のドメインが見える。
次のスライドで判明するように、それらは、準結晶領域の境界に対応している。

4次元解析で見た準結晶領域

T. Ishimasa et al., Phil. Mag., 95 (2015) 3745.



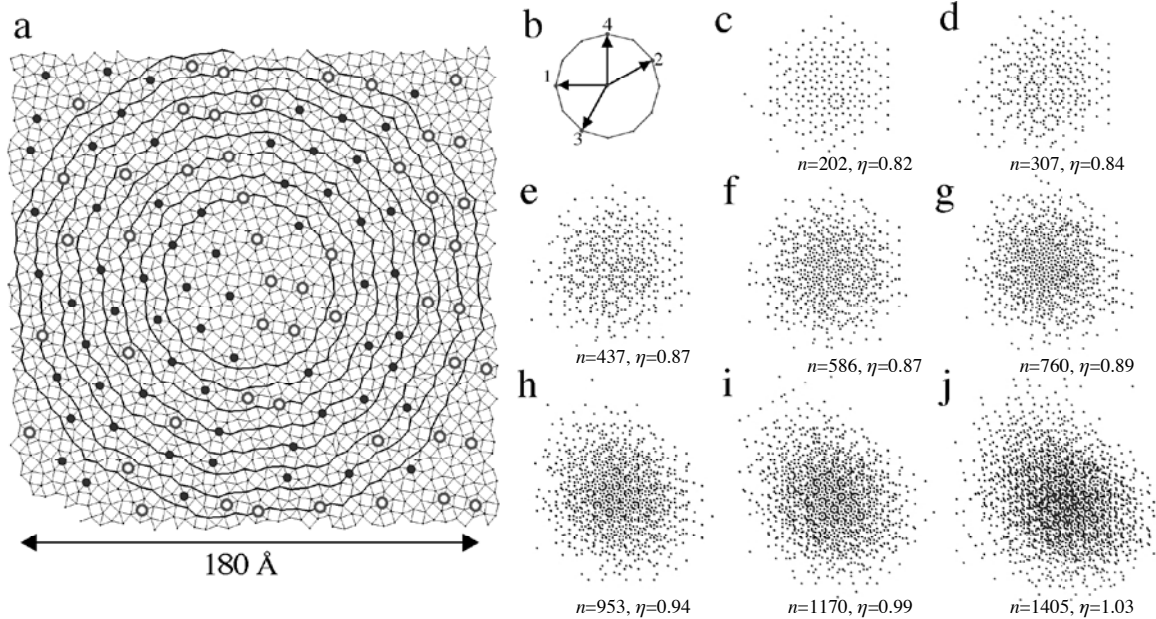
物理空間とphason空間におけるタイル頂点の対応関係を調べた結果、サンプルは3つの準結晶領域から構成されていることが判明した。それらの3つの領域は、中心が異なる窓を持っている。

準結晶形成の決定的証拠

- (1) フェイゾン空間では、閉じた一つの領域に集中する。
- (2) 自己相似的な配置がフェイゾン空間に生じている。

$$\eta = \sqrt{\frac{1}{n} \sum_{j=1}^n |r_{j\perp} - c_{\perp}|^2}$$

n : number of vertices



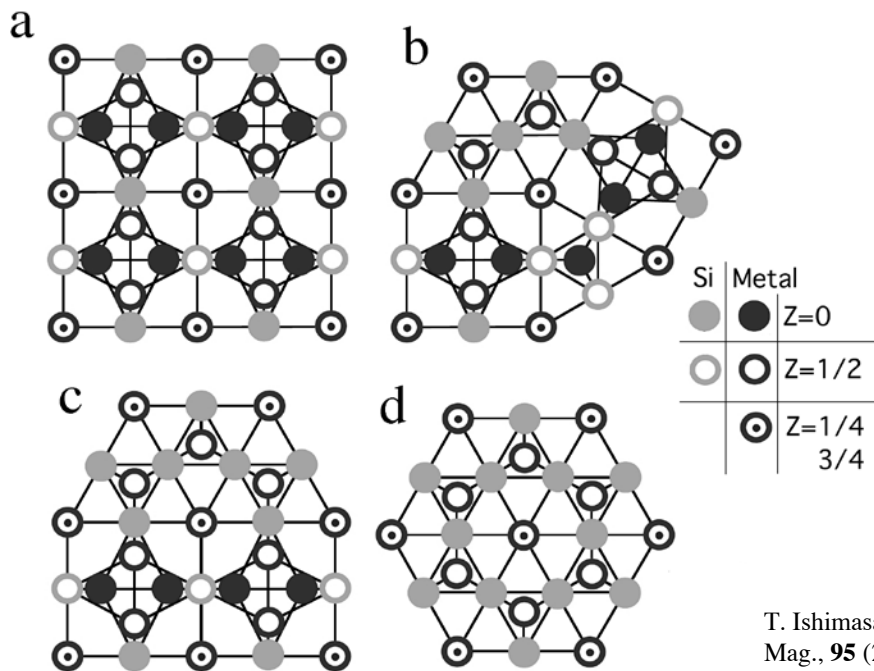
物理空間における領域の大きさに対して、Phason空間の分布がどのように変化するかを調べた。その結果、窓に対応する「一定の領域」の存在が明らかとなった。これは、ランダムタイリングではなく、準周期モデルを意味する。

正方形、正三角形に原子を配置して、3次元構造モデルを構成できる。

投影図: 投影方向には、正方形の一辺 a と同じ周期をもつ。

正方形→立方体、正三角形→三角柱

下図のように原子を配置するとFrank-Kasperの配位多面体だけで構成できる。



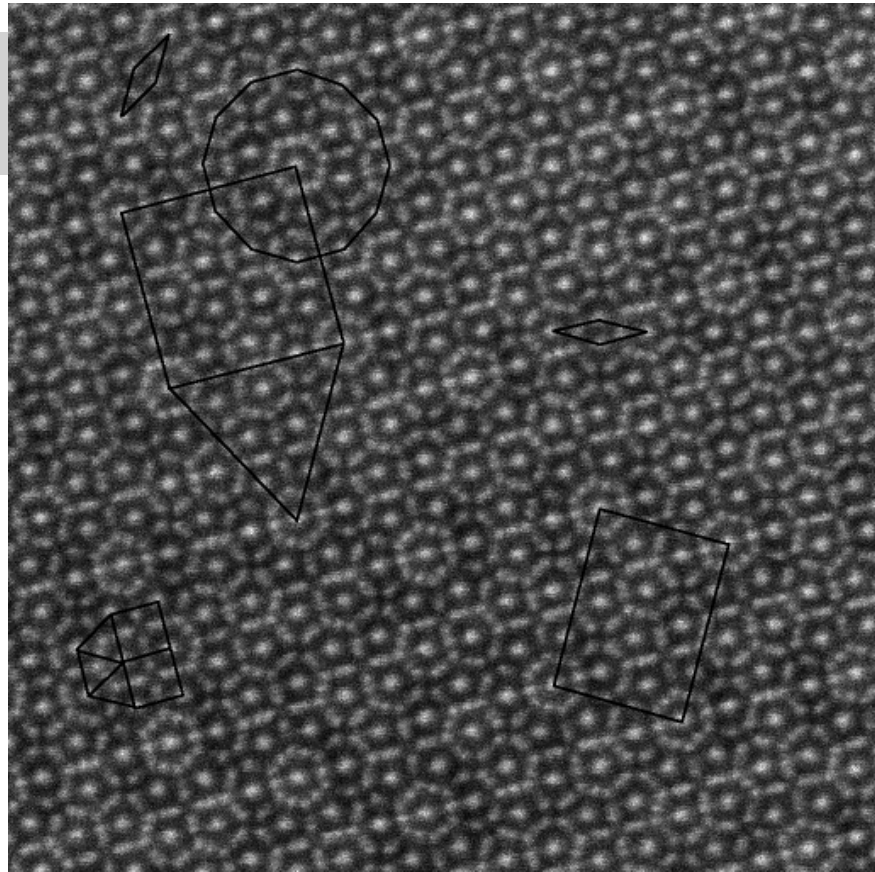
T. Ishimasa et al., Phil. Mag., **95** (2015) 3745.

HAADF-STEM法
による電顕像
正3角形と正方形の中が見える。



● $z = 0$ ○ $z = 1/2$
⊙ $z = \pm 1/4$

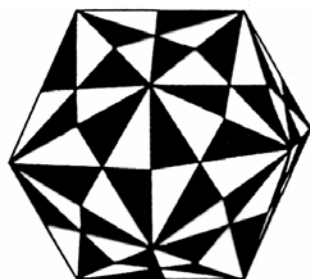
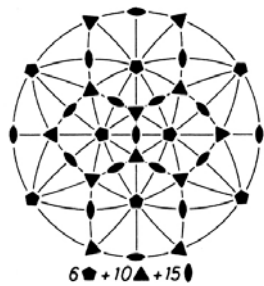
辺の長さ 4.56 \AA



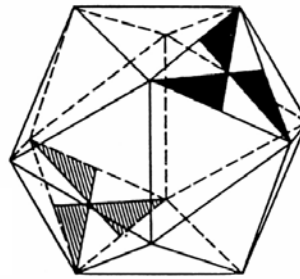
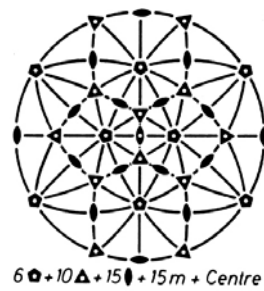
5. 正20面体準結晶

正20面体対称性

点群 235
order(要素の数): 60



点群 $m\bar{3}5$
order: 120

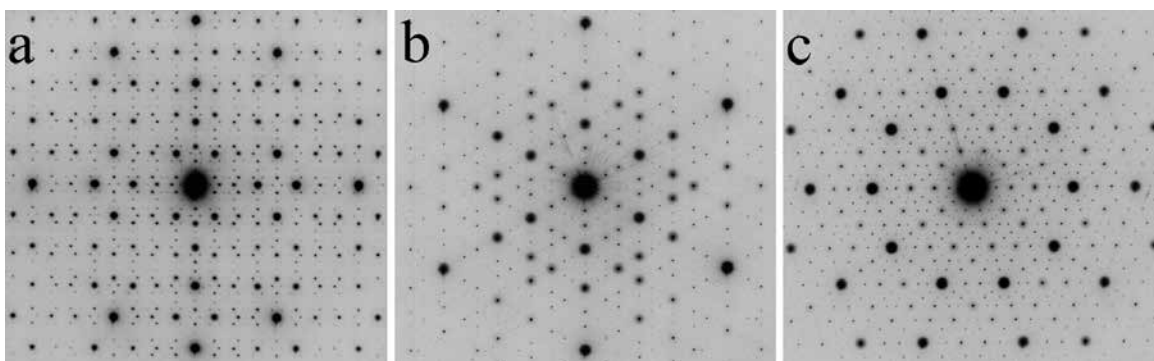


J. Rhyner, PhD thesis
Diss. ETH No. 8451,
ETH Zürich, 1987.
p.39より転載

回折強度は、中心対称なので、回折実験では $m\bar{3}5$ に見える。

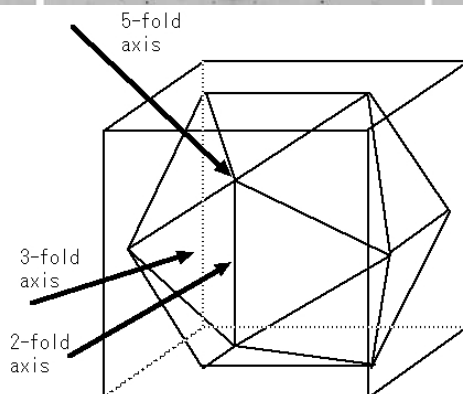
5.1 正20面体準結晶の特徴

特徴1: 正20面体回折対称性



D. Shechtman, I Blech,
D. Gratias and J.W. Cahn,
Phys. Rev. Lett., **53**
(1984) 1951.

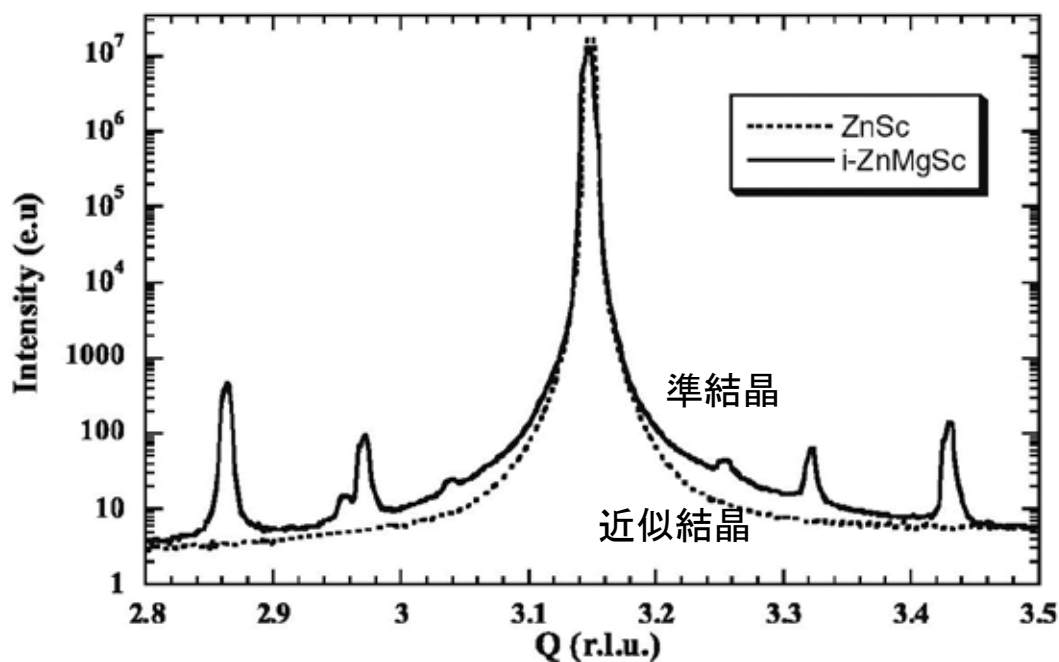
3次元的な準周期
構造なので、構造
解析は難しい。



Y.Kaneko, Y.Arishika,
T. Ishimasa, Phil. Mag.
Lett., **81** (2001) 777.

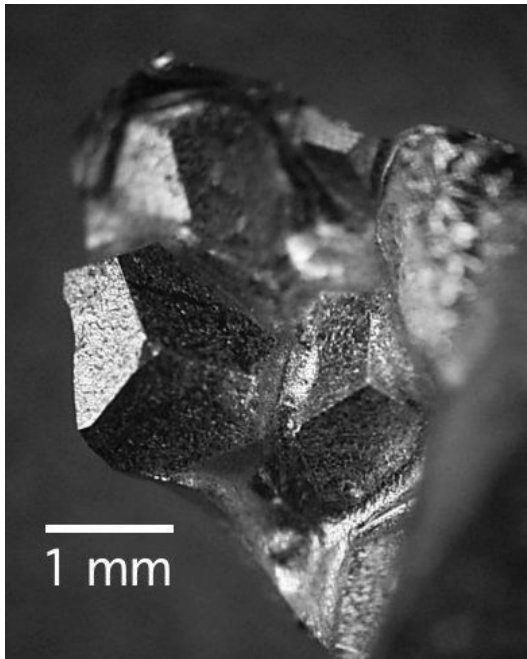
特徴2: 結晶に匹敵するほど長距離秩序が完全なものもある

放射光を利用した単結晶X線回折で、回折点の形状が δ 関数に近いかわかった。



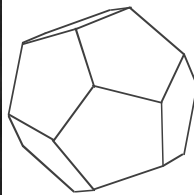
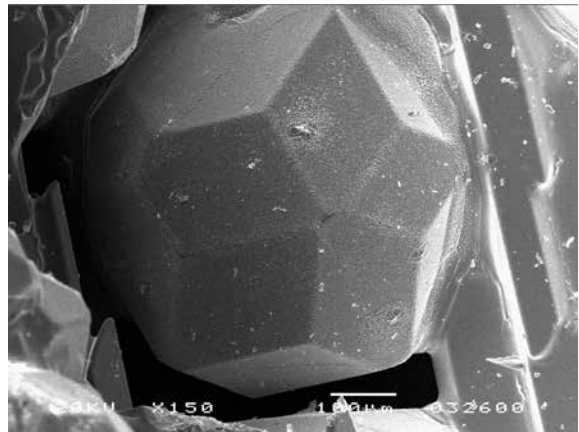
M.de Boissieu, S. Francoual, Y. Kaneko, T. Ishimasa, Phys. Rev. Lett. **95** (2005) 105503.

特徴3: 外形が正20面体対称



Zn₇₇Fe₇Sc₈Er₈準結晶の光学顕微鏡写真

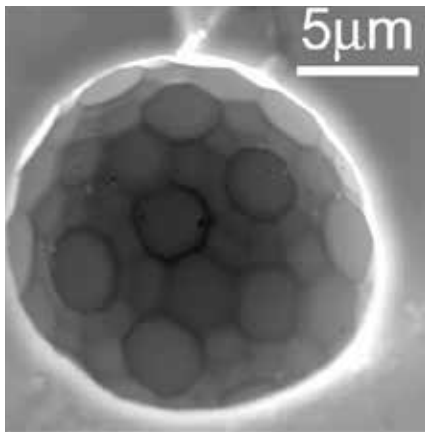
T. Ishimasa, Handbook of Metal Physics, Chapter 3, 2008, Elsevier.



正12面体

Zn-Mg-Sc準結晶の外形、
菱形30面体
(triacontahedron)

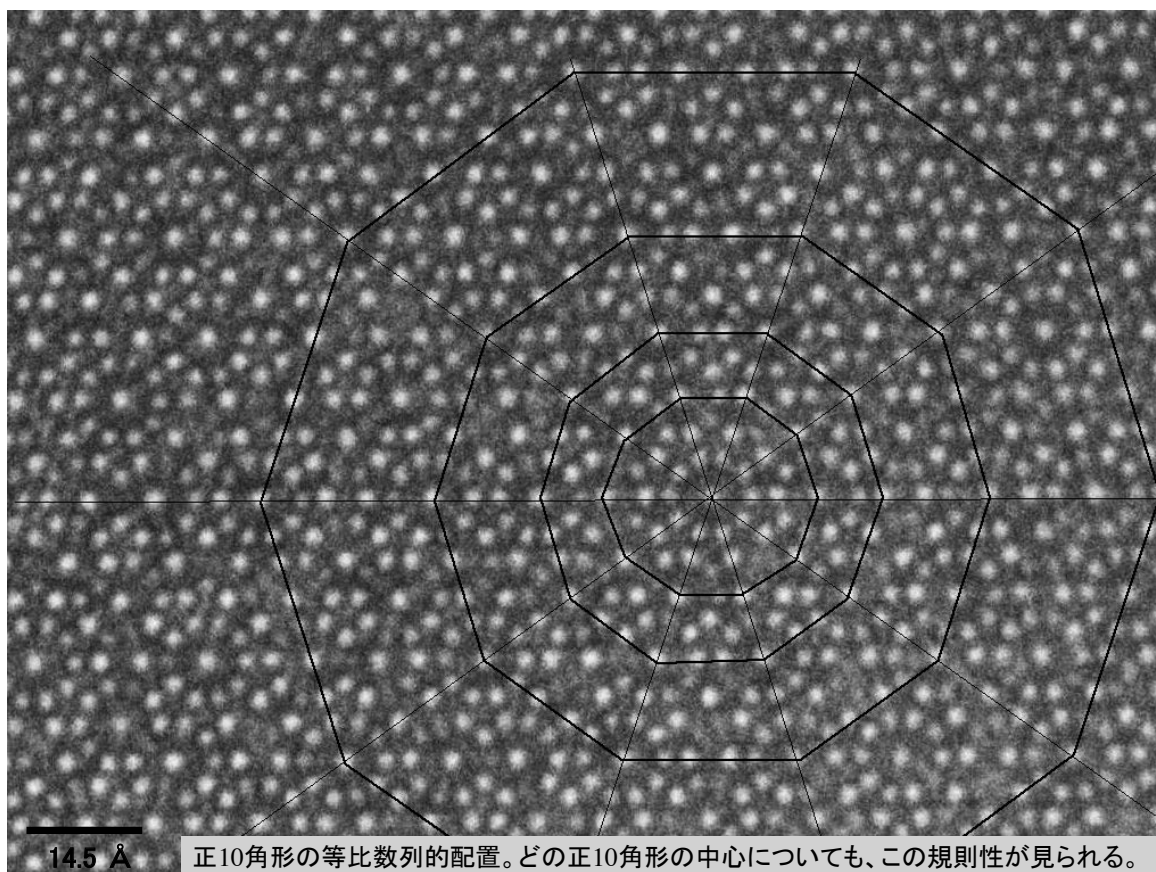
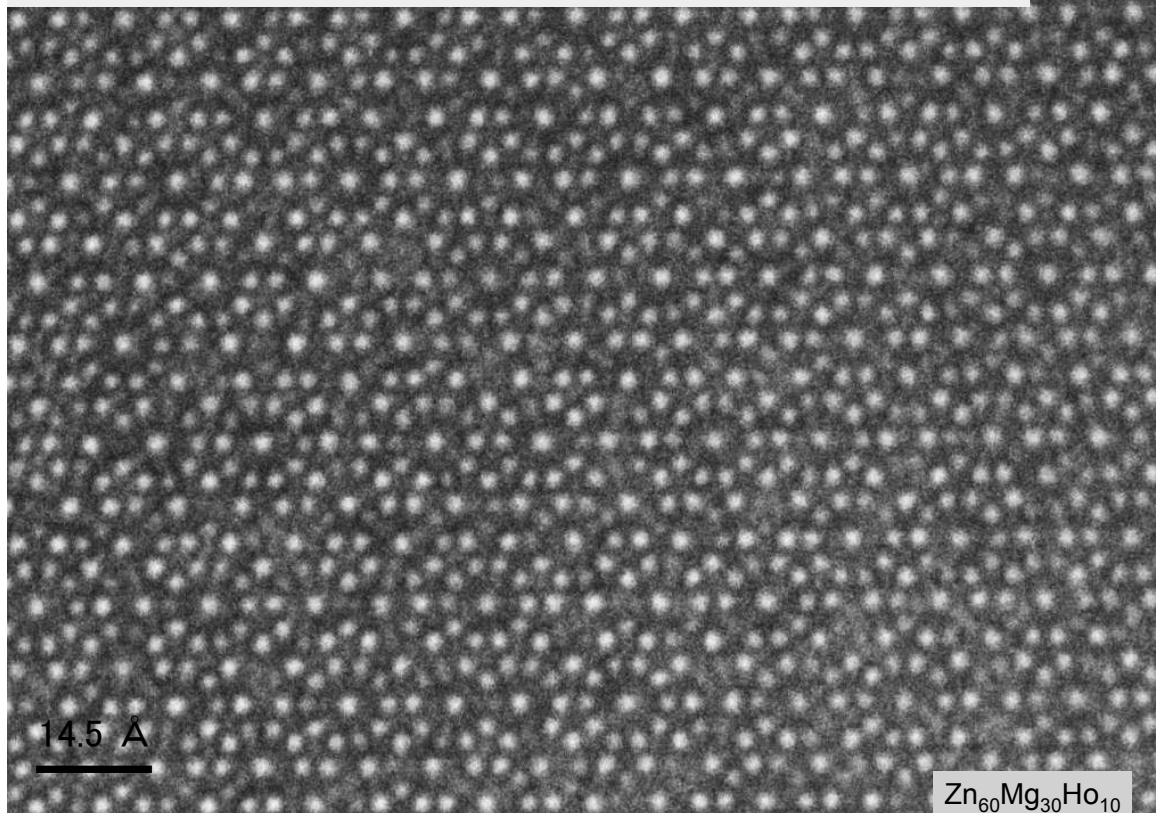
T. Ishimasa *et. al.*, J. Non-Cryst. Solid, **334&335** (2004) 1.



Zn-Fe-Sc正20面体準結晶の破断面に観察された小さな穴。外形が正20面体対称と関連付けられることに注意



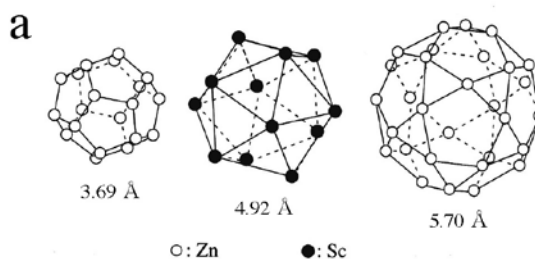
特徴4: 電子顕微鏡で見ると正5角形や正10角形が整然と配列



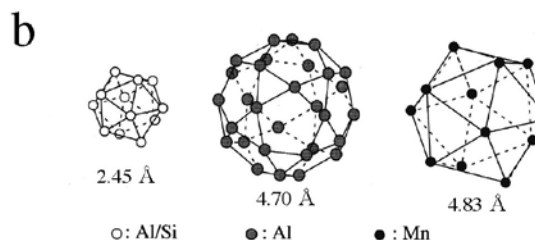
特徴5. 3種類のクラスター

正20面体準格子を修飾していると考えられている3種類の原子クラスターの構造モデル。それぞれロシア人形(マトリョーシカ)のように入れ子になった多重殻である。

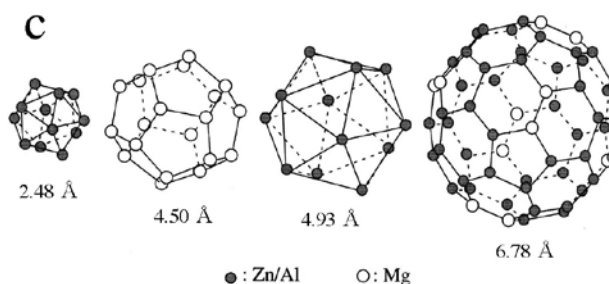
Tsai型



Mackay型



Bergman型



T. Ishimasa, "The Science of Complex Alloy Phases", TMS, 2005. p 231-249.

特徴6 色々な合金で形成し、安定相も多い。

Al合金 (Al₆₅Cu₂₀Fe₁₅, Al₇₀Pd₂₁Mn₉ など)
 Zn合金 (Zn₆₀Mg₃₀Ho₁₀, Zn₈₀Mg₅Sc₁₅ など)
 Cu合金 (Cu₄₆Al₃₈Sc₁₆ など)
 Cd合金 (Cd₈₅Ca₁₅, Cd₈₄Yb₁₆ など)
 Ag合金 (Ag₄₂In₄₂Ca₁₆ など)
 他にもTi合金、Au合金など



Prof. D. Shechtman Nobel Laureate Chemistry 2011
2006年小樽



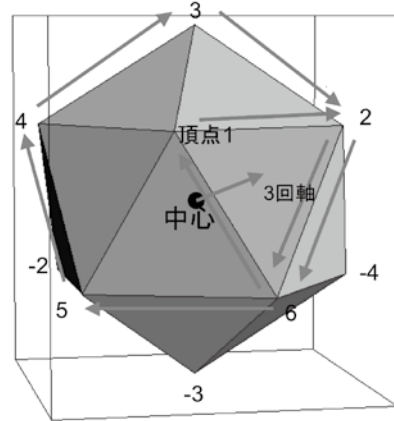
蔡 安邦教授、2006年Grenoble

5.2 正20面体準結晶の数理

6次元空間の正規直交基底の回転行列GとHを考える。6本の基底ベクトル \vec{e}_n , $n=1\sim 6$

(1) 5回の回転G

$$G = \begin{pmatrix} 1 & 0 & 0 & 0 & 0 & 0 \\ 0 & 0 & 1 & 0 & 0 & 0 \\ 0 & 0 & 0 & 1 & 0 & 0 \\ 0 & 0 & 0 & 0 & 1 & 0 \\ 0 & 0 & 0 & 0 & 0 & 1 \\ 0 & 1 & 0 & 0 & 0 & 0 \end{pmatrix}, \quad G \begin{pmatrix} x_1 \\ x_2 \\ x_3 \\ x_4 \\ x_5 \\ x_6 \end{pmatrix} = \begin{pmatrix} x_1 \\ x_3 \\ x_4 \\ x_5 \\ x_6 \\ x_2 \end{pmatrix}$$



(2) 3回の回転 H

$$H = \begin{pmatrix} 0 & 0 & 0 & 0 & 0 & 1 \\ 1 & 0 & 0 & 0 & 0 & 0 \\ 0 & 0 & 0 & 0 & 1 & 0 \\ 0 & 0 & -1 & 0 & 0 & 0 \\ 0 & 0 & 0 & -1 & 0 & 0 \\ 0 & 1 & 0 & 0 & 0 & 0 \end{pmatrix}, \quad H \begin{pmatrix} x_1 \\ x_2 \\ x_3 \\ x_4 \\ x_5 \\ x_6 \end{pmatrix} = \begin{pmatrix} x_6 \\ x_1 \\ x_5 \\ -x_3 \\ -x_4 \\ x_2 \end{pmatrix}$$

5回の回転 G

頂点1の周りの回転

頂点 1, 2, 3, 4, 5, 6



頂点 1, 6, 2, 3, 4, 5

$x_1\vec{e}_{1//}$ の位置は回転しても変わらない。
 $x_2\vec{e}_{2//}$ の位置は回転すると $x_2\vec{e}_{6//}$ に移動する。

G, HとInversion(反転: $-E$)を組み合わせると正20面体対称性を作り出せる。A. Katz and M. Duneau, J. Physique 47 (1986) 181-196.

5.3 6次元空間の分解

- (1) 2つの3次元空間 $S_{//}$ (物理空間)と S_{\perp} (phason空間)
- (2) $S_{//}$ と S_{\perp} において正20面体対称性が保存するように分ける。
- (3) $S_{//}$ と S_{\perp} は互いにorthogonal complement

$$\vec{r} = \vec{r}_{//} + \vec{r}_{\perp} = P_{//}(\vec{r}) + P_{\perp}(\vec{r})$$

6次元空間の分解、これは射影の行列 $P_{//}$ と P_{\perp} をどう決めるかという問題。

$$P_{//} = \frac{1}{\sqrt{20}} \begin{pmatrix} \sqrt{5} & 1 & 1 & 1 & 1 & 1 \\ 1 & \sqrt{5} & 1 & -1 & -1 & 1 \\ 1 & 1 & \sqrt{5} & 1 & -1 & -1 \\ 1 & -1 & 1 & \sqrt{5} & 1 & -1 \\ 1 & -1 & -1 & 1 & \sqrt{5} & 1 \\ 1 & 1 & -1 & -1 & 1 & \sqrt{5} \end{pmatrix}, \quad P_{\perp} = \frac{1}{\sqrt{20}} \begin{pmatrix} \sqrt{5} & -1 & -1 & -1 & -1 & -1 \\ -1 & \sqrt{5} & -1 & 1 & 1 & -1 \\ -1 & -1 & \sqrt{5} & -1 & 1 & 1 \\ -1 & 1 & -1 & \sqrt{5} & -1 & 1 \\ -1 & 1 & 1 & -1 & \sqrt{5} & -1 \\ -1 & -1 & 1 & 1 & -1 & \sqrt{5} \end{pmatrix}$$

A. Katz and M. Duneau, J. Physique, 47 (1986) 181.

これらは階数3の行列であり、次の関係を満たす。

$$P_{//}P_{\perp} = 0, \quad P_{\perp} = E - P_{//}$$

「 $S_{//}$ と S_{\perp} において正20面体対称性が保存するように分ける。」がどのように実現されているか調べてみよう。

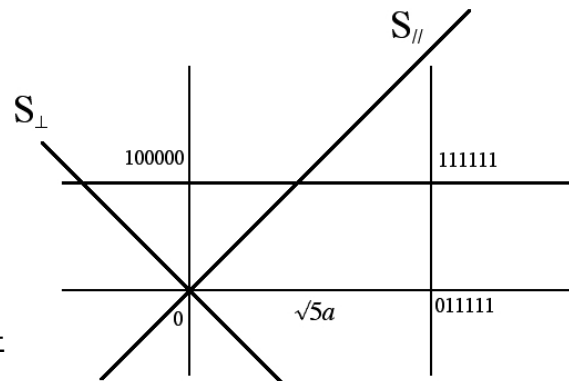
6次元格子の対称面と物理空間、phason空間の関係:5回対称面の場合

$$G = \begin{pmatrix} 1 & 0 & 0 & 0 & 0 & 0 \\ 0 & 0 & 1 & 0 & 0 & 0 \\ 0 & 0 & 0 & 1 & 0 & 0 \\ 0 & 0 & 0 & 0 & 1 & 0 \\ 0 & 0 & 0 & 0 & 0 & 1 \\ 0 & 1 & 0 & 0 & 0 & 0 \end{pmatrix}$$

$$GX = X \quad \text{を満たす} \quad X = \begin{pmatrix} x_1 \\ x_2 \\ x_3 \\ x_4 \\ x_5 \\ x_6 \end{pmatrix} \quad \text{を求めよう。}$$

$$X = x_1 \begin{pmatrix} 1 \\ 0 \\ 0 \\ 0 \\ 0 \\ 0 \end{pmatrix} + x_2 \begin{pmatrix} 0 \\ 1 \\ 1 \\ 1 \\ 1 \\ 1 \end{pmatrix}$$

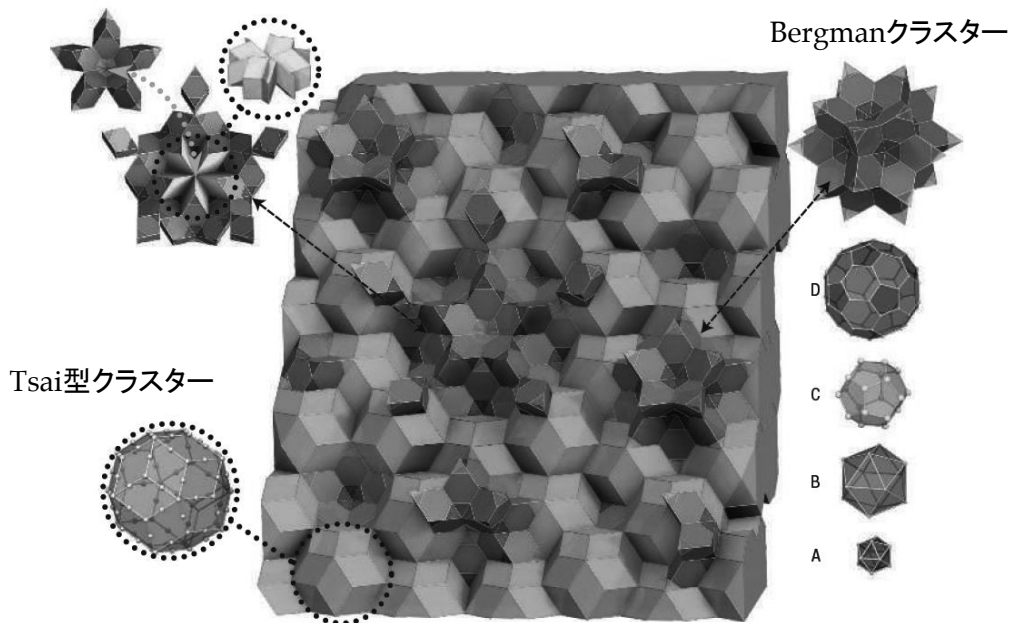
この式は2次元平面を表している。
これを5回対称面と呼ぶ。
この平面上の直線はどれも5回対称軸となるので、直交する2つの5回軸を物理空間とphason空間に割り振る。(言い換えると $P_{//}(\vec{e}_1) = \vec{e}_{1//}$ と $P_{\perp}(\vec{e}_1) = \vec{e}_{1\perp}$ がこの平面上にのるように $P_{//}$ と P_{\perp} を設定した。) 6個の5回対称面全てについて5回軸を割り振った結果が前ページの $P_{//}$ と P_{\perp} である。



a : 6次元超立方格子の格子定数

3次元Penroseタイルに基づくCd₆Yb正20面体準結晶の構造モデル

ARTICLES Tsai型クラスターが準周期的に配置、隙間をBergmanクラスターの断片が埋める



H. Takakura *et al.*, Nature Mater. 6, 2007, 58より転載
15.66 Å

まとめにかえて:合金系準結晶の未解決問題

1. 準結晶安定化の起源

- (1) タイル配置のエントロピーによって高温でのみ安定? それとも基底状態?
- (2) 準結晶合金の構成元素

構造の完全性が合金系で異なるのは何故?

近似結晶は形成するが準結晶はできない合金系。何が違う?

より理想に近い準結晶を作る為に満たすべき条件とは?

- (3) 電子構造の役割

2. 準結晶の構造

- (1) 高次元モデルで、本当に良いのか? (準格子レベル)
- (2) 準結晶における原子配置モデル (原子レベル)
- (3) 準結晶に固有の格子欠陥

3. 準結晶成長のメカニズム

ミリメートルの単準結晶が短時間で成長できるのは何故?

4. 準結晶の電子状態

理論: 1次元系では波動関数は、広がってもいなし局在もしてもない。

現実の準結晶ではどうか?

5. 準結晶に固有の物性はあるのか?

電気抵抗が大きい、熱伝導率が小さい、摩擦係数が小さい、ある種の準結晶は量子臨界性を示す、....

K. Deguchi et al., Nature Materials **11** (2012) 1013.